

افزایش بیان ژن سرکوبگر متاستازی nm۲۳ در ردهی سلولی ۳-PC سرطان پروستات تیمار شده با داروی ایماتینیب

سید عطاءالله سادات شاندیز^۱، دکتر مهدی شفیعی اردستانی^۲، دکتر شیوا ایرانی^۳، دکتر دلاور شهباززاده^۴

مقاله پژوهشی

چکیده

مقدمه: سرطان پروستات یکی از شایع‌ترین سرطان‌ها در کشورهای پیشرفته به شمار می‌رود. نقش ژن nm۲۳ به عنوان یک ژن سرکوبگر متاستازی در بسیاری از سرطان‌ها مشخص شده است. اثرات داروی ایماتینیب به عنوان مهار کننده‌های تیروزین کینازی در تحقیقات و درمان تومورهای جامد نشان داده شده است. هدف از انجام مطالعه‌ی حاضر، ارزیابی اثرات داروی ایماتینیب بر روی بقای سلولی و بیان ژن سرکوبگر متاستازی nm۲۳ در ردهی سلولی سرطانی پروستات بود.

روش‌ها: در این مطالعه، سلول‌های ردهی سرطانی پروستات ۳-PC با غلظت‌های متفاوت ایماتینیب به مدت ۴۸ ساعت تیمار شدند. درصد بقای سلولی توسط روش MTT [4,5-dimethylthiazol-2-yl)-2,5-diphenyltetrazolium bromide] انجام گرفت و میزان دوز ۵۰ درصد کشنده‌ی cDNA تعیین شد. مولکول RNA با استفاده از محلول RNX استخراج شد و سپس سنتر Glyceraldehyde-3-phosphate dehydrogenase (GAPDH) با استفاده از نرمافزار اختصاصی طراحی شد. میزان بیان ژن nm۲۳ نسبت به ژن GAPDH (ژن مرجع) با استفاده از روش Real-time polymerase chain reaction (Real-time PCR) بررسی شد.

یافته‌های: اثر مهاری ایماتینیب بر روی بقای سلول‌های ۳-PC متاستازی نشان داده شد. همچنین، نسبت بیان ژن nm۲۳/GAPDH در غلظت μM ۲۱/۳۳ ایماتینیب طی ۴۸ ساعت برابر 0.02 ± 0.01 ($P < 0.01$) محسوسه شد.

نتیجه‌گیری: ایماتینیب می‌تواند از طریق افزایش بیان ژن مهار کننده‌ی متاستازی nm۲۳ باعث کاهش متاستازی در سلول‌های ۳-PC شود.

وازگان کلیدی: ایماتینیب، nm۲۳، سرطان پروستات، متاستازی

ارجاع: سادات شاندیز سید عطاءالله، شفیعی اردستانی مهدی، ایرانی شیوا، شهباززاده دلاور. افزایش بیان ژن سرکوبگر متاستازی nm۲۳ در ردهی سلولی ۳-PC سرطان پروستات تیمار شده با داروی ایماتینیب. مجله دانشکده پزشکی اصفهان ۱۳۹۳؛ ۳۲(۳۰۹): ۱۹۱۷-۱۹۰۷.

مقدمه

پروستات دومین سرطان رایج (بعد از سرطان پوست) و دومین سرطان مرگ‌آور (بعد از سرطان ریه) در مردان است. از هر شش مرد، یک نفر به این سرطان مبتلا می‌شود (۱). با افزایش شیوع و

پروستات به شکل غده‌ای کوچک در زیر مثانه قرار دارد و بخش بالایی مجرای ادراری را در بر می‌گیرد. در کشورهای توسعه یافته، سرطان

- ۱- دانشجوی دکتری، گروه زیست‌شناسی، دانشگاه آزاد اسلامی، واحد علوم و تحقیقات، تهران، ایران
- ۲- استادیار، گروه رادیودارویی، دانشکده داروسازی، دانشگاه علوم پزشکی تهران، تهران، ایران
- ۳- استادیار، گروه زیست‌شناسی، دانشگاه آزاد اسلامی، واحد علوم و تحقیقات، تهران، ایران
- ۴- دانشیار، مرکز تحقیقات بیوتکنولوژی، گروه بیوتکنولوژی پزشکی، آزمایشگاه نوم و بیومولکول‌های درمانی، انسیتو پاستور ایران، تهران، ایران

نویسنده‌ی مسؤول: دکتر دلاور شهباززاده

پستان و لوسومی مؤثر بوده‌اند. یکی از مثال‌های موفقیت‌آمیز مهار کننده‌های کینازی، داروی ضد سرطانی ایماتینیب (مهار کننده‌ی انکوپروتئین Bcr/Ab1) است که از سال ۲۰۰۱ با تأیید سازمان غذا و داروی امریکا برای درمان لوسومی میلوئید مزمن (Chronic myeloid leukemia) حاصل جایه‌جایی کروموزومی $\#9$ و $\#22$ ، مورد استفاده قرار گرفت و امروزه بخشی از درمان استاندارد لوسومی میلوئیدی مزمن و تومورهای استرومازی معده‌رودهای به شمار می‌رود. این دارو در اروپا با نام Glivec و در امریکا با نام Gleevec شناخته می‌شود. ایماتینیب به عنوان دارویی که در بیماران مبتلا به سرطان به راحتی تحمل می‌شود، شناخته شده است. بنابراین به عنوان داروی انتخابی به جای داروهای شیمی درمانی در حوزه‌ی سرطان انتخاب شده است.

(۵-۶).

علاوه بر این، ثابت شده است که ایماتینیب فعالیت ضد تکثیری در تومورهای جامد (Solid) با مهار پیام‌رسانی گیرنده‌های تیروزین کینازی از قبیل c-kit و β PDGFR α و β (Platelet-derived growth factor receptor α , β) دارد. بیان این گیرنده‌ها در بسیاری از انواع سرطان‌ها از جمله مغز، ملانوما، سرطان‌های پستان، پانکراس، پروستات و تخمدان شناسایی شده است (۷).

متاستاز سرطان، علت اصلی مرگ بیماران سرطانی است. در حالی که تومور اولیه توسط جراحی و رادیو درمانی قابل ریشه‌کن کردن است، درمان فرم‌های متاستازی به سبب پراکنده شدن در سراسر بدن مشکل است و در نهایت، منجر به مرگ بیمار می‌شود. در طی پیشرفت تومور بسیاری از ژن‌ها

مرگ و میر ناشی از سرطان پروستات و نقصان روش‌های شیمی درمانی و پرتو درمانی در شکل‌های پیشرفته‌ی این سرطان، نیاز به شیوه‌های جدیدی برای کنترل این سرطان احساس می‌شود. پیشرفت سرطان در یک دوره‌ی طولانی مدت، به ویژه سرطان پروستات که در جمعیت میانسال یا پیر دیده می‌شود، نشان دهنده‌ی این است که تغییرات ژنتیکی و ابی‌ژنتیکی زیادی برای رشد و پیشرفت سرطان پروستات لازم است (۲).

شیمی درمانی متداول اگر چه بر علیه آنزیم‌ها و ماکرومولکول‌های ویژه است، اما به طور کارا توانایی تشخیص بین سلول‌های طبیعی تند تقسیم شونده و توموری را ندارد. بنابراین، منجر به اثرات جانبی توکسیک می‌شود. بر خلاف آن، درمان‌های هدف‌دار شده با اهداف مولکولی، در مداخله‌ی رشد و یا پیشرفت تومور نقش دارند. در سال‌های اخیر، یافته‌های دقیقی از آسیب‌شناسی فرایند رشد و پیشرفت تومور وجود دارد. بنابراین، ساخت داروهای جدید علیه چرخه‌هایی با پیام‌رسانی کنترل نشده امکان پذیر است. در بین اهداف اصلی، تیروزین کینازها، که در چرخه‌ی ترارسانی پیام سلولی نقش دارند، در بسیاری از انواع سلول‌های سرطانی بیان افزایش یافته‌ای دارند (۳) و به عنوان هدفی جذاب در درمان نوین سرطان مطرح شده‌اند. بعضی از مهار کننده‌های تیروزین کینازی نتایج امیدبخشی را در مطالعات پیش کلینیکی نشان داده‌اند و توانایی جلوگیری از رشد تومور و در بعضی موارد رگ‌زایی را نیز دارا هستند (۴).

این داروهای طور چشمگیری در درمان تومورهای مختلف انسانی همچون معده، پروستات،

روش‌ها

کشت سلولی: رده‌ی سلولی PC-3 از بانک سلولی انسنتیتو پاستور ایران تهیه شد (NCBI, C427). این RPMI-1640 رده‌ی سلولی، در محیط کشت RPMI-1640 (Roswell Park Memorial Institute) سرم جنین گاوی (Fetal bovine serum) یا ۱۰ درصد ۲ g/l بی‌کربنات، ۲ mM گلوتامین، ۱۰۰ U/ml پنی‌سیلین و ۱۰۰ µg/ml استرپتومایسین در دمای ۳۷°C در یک اتمسفر مرطوب با غلظت پنج درصد CO₂ کشت شد.

انکوباسیون سلول‌ها با ایماتینیب: انکوباسیون غلظت‌های مختلفی از داروی ایماتینیب (۰، ۳/۱۲۵، ۶/۲۵، ۱۲/۵، ۲۵، ۵۰ و ۱۰۰ میکرومول) در محیط کشت RPMI-1640 حاوی ۱۰ درصد FBS انجام گرفت. به منظور بررسی اثر سمیت سلولی این ترکیبات، از روش سنجش MTT [4,5-] dimethylthiazol-2-yl)-2,5-diphenyltetrazolium bromide استفاده شد. این روش بر اساس توانایی سلول‌های زنده در تبدیل نمک تترازولیوم محلول به فرمازان نامحلول است. ابتدا در پلیت ۹۶ خانه‌ای، به میزان ۱۰۰ µl از سوسپانسیون سلولی حاوی ۱۰۰۰۰ سلول محیط کشت ریخته شد. پس از ۲۴ ساعت، سلول پلیت‌ها به مدت ۴۸ ساعت در شرایط ۳۷°C در یک اتمسفر مرطوب با غلظت پنج درصد CO₂ انکوبه شدند. پس از پایان انکوباسیون، ۱۰ µl از محلول رنگ Phosphate buffered saline (PBS) به هر چاهک اضافه شد و پس از ۴ ساعت ایکوپلیسیون، کریستال‌های بنفس رنگ فورمازان ایجاد شد. برای حل نمودن کریستال‌های فورمازان، ۱۰۰ µl PBS) به هر چاهک اضافه شد و پس از ۴ ساعت ایکوپلیسیون، کریستال‌های بنفس رنگ فورمازان ایجاد شد. برای حل نمودن کریستال‌های فورمازان، ۱۰۰ µl

عملکرد خود را به دست می‌آورند و یا از دست می‌دهند. این امر، منجر به فراهم آمدن زمینه‌های ایجاد متاستاز از قبیل اتصال سلولی تغییر یافته، تکثیر کنترل نشده، افزایش تحرك، هجوم و رشد مستقل می‌شود. مکانیسم سلولی و مولکولی شکل‌گیری مراحل چندگانه‌ی آبشار متاستاز به طور تقریبی پیچیده است و مکانیسم‌های مشخص در هر جایگاه به طور کامل شناخته نشده است. بیش از ۲۰ ژن از N, E, CD44, KAI1 (nm23), NME1 (nm23), Cadherin KiSS1, RKIP, JNK1/MKK4 و Cadherin عنوان مهار کننده‌های فرایند متاستاز شناسایی شده‌اند که بیان آن‌ها در طی متاستازی کاهش می‌یابد (۸). محصول ژن nm23، پروتئینی با اندازه‌ی kDa ۱۸/۵ را ایجاد می‌کند که به عنوان نوکلئوزید دی‌فسفات کیناز یا هیستیدین کیناز عمل می‌کند. گزارشات حاکی از آن است که محصول پروتئینی ژن Ras nm23 کمپلکسی را با سرکوبگر کیناز ۱ (Kinase Suppressor of Ras) KSR1 یا (Ras/MAPK) بنابراین در مهار چرخه‌ی نقش دارد (۹). از لحاظ کلینیکی مشخص شده است که بیان ژن nm23 در بسیاری از تومورها از جمله سرطان‌های پستان و پروستات کاهش می‌یابد (۱۰). از این رو، انجام تحقیقاتی در مورد شناسایی مسیرهای عملکردی و مکانیسم متاستازی مرتبط با آن ضروری به نظر می‌رسد. بنابراین، هدف از مطالعه‌ی حاضر بررسی اثر داروی ایماتینیب بر چسبندگی، مهاجرت و تهاجم سلول‌های (Human prostate adenocarcinoma) PC-3 تنظیم بیان ژن nm23 بوده است.

سرعت rpm ۱۲۰۰ در دمای ۴°C سانتریفوژ (Eppendorf ۵۸۰۴R, Germany) شدند. قسمت آبی بالای با حجم برابری از ایزوپروپانول مخلوط شد و پس از مدت زمان ۱۵ دقیقه در دمای ۴°C با سرعت ۱۲۰۰ rpm ۷۵ درصد به رسوب RNA اضافه شد. در ادامه، سانتریفوژ به مدت ۵ دقیقه در دمای ۴°C با سرعت ۷۵۰۰ rpm صورت گرفت تا RNA شسته شود. در مرحله‌ی آخر، RNA در آب مقطر دو بار تقطیر حل و در فریزر -۷۰°C نگهداری شد.

ارزیابی خلوص و کیفیت RNA استخراج شده: در این مرحله، مقدار و خلوص RNA استخراج شده بسته انتفاده از فتونوانومتر (IMPLEN GmbH, Germany) تعیین شد. نسبت جذب نوری (OD) یا RNA (Optical density) در طول موج‌های ۲۶۰ nm به ۲۸۰ nm و ۲۶۰ به ۲۳۰ nm سنجش شد. از نمونه‌هایی که نسبت OD ۲۳۰/۲۶۰ nm میان ۱/۸ تا ۲/۲ و نسبت ۲۶۰/۲۸۰ nm میان ۱/۷ تا ۱/۹ داشتند، برای سترز (complementary DNA) cDNA استفاده شد.

ساخت DNA مکمل (cDNA): مولکول‌های Revert aidTM first strand DNA مکمل با کیت (Fermentas, USA) cDNA synthesis Kit شدند. مخلوط واکنش شامل ۱ μg RNA، ۵ μl ۰/۵ μl واکنش ۰/۵ μl، ۰/۵ μl آغازگر (dT Oligo)، ۱ μl داکسی نوکلئوتید تری‌فسفات (۱۰ mM)، ۱ μl کننده‌ی آنزیم RNase (۲۰ U/μl)، ۱ μl آنزیم روونوشت‌بردار معکوس و آب مقطر دو بار تقطیر (تا حجم نهایی ۲۰ μl) بود. سپس برنامه‌ی دمایی - زمانی

ایزوپروپانول به هر چاهک افزوده شد. سپس شدت رنگ توسط دستگاه ELISA reader (Oraganon Teknika, Netherlands) در طول موج ۵۴۰ nm ثبت شد. شش چاهک حاوی سلول‌های PC-۳ بدون تیمار به عنوان شاهد منفی انتخاب شدند. نتایج بر حسب درصد سلول‌های زنده‌ی تیمار شده نسبت به شاهد، از رابطه‌ی زیر محاسبه گردید: $100 \times (\text{میانگین جذب سلول‌های شاهد} / \text{میانگین جذب سلول‌های تیمار شده}) = \text{درصد سلول‌های زنده برای تعیین دوز ۵۰ درصد کشندگی ایماتینیب بر روی رده‌ی سلولی PC-۳}$. تمامی اطلاعات به دست آمده (درصد سمیت) از نمونه‌های مورد و شاهد با Statistical package (Pharm-PCS) بررسی شد و میزان دقیق IC₅₀ (Half maximal inhibitory concentration) تعیین شد.

استخراج RNA: ابتدا ۲ × ۲ سلول در فلاسک‌های ۲۵ cm² ریخته شد و بعد از ۴۸ ساعت با ایماتینیب تیمار شد و پس آن استخراج RNA انجام گردید. برای جداسازی سلول‌ها از ته فلاسک، سلول‌ها با تریپسین جدا و با سرعت ۱۱۰۰ rpm سانتریفوژ و سپس دو مرتبه با PBS شستشو شدند. سپس برای لیز کردن سلول‌ها، به آنها ml محلول استخراج RNX (سیناژن، ایران) سرد اضافه شد. سپس محتويات هر فالکون در میکروتیوب‌های فاقد آنزیم RNase ریخته شد. نمونه‌های همگن به مدت ۵ دقیقه در دمای اتاق انکوبه شدند. سپس، میزان ۲۰۰ μl کلروفرم به هر نمونه افزوده شد و پس از تکان دادن شدید به مدت ۱۵ ثانیه و ۵ دقیقه قرار گرفتن در دمای اتاق، به مدت ۱۵ دقیقه با

CGTTCTCAGGCTCCCTCT-^{۳'}
۵'-برگشتی،
دماهی $63/4^{\circ}\text{C}$ بود. برای درستی توالی آغازگرها و
اطمینان از عدم اتصال آنها به توالی‌های غیر
اختصاصی در بخش‌های دیگر ژنوم، BLAST
(<http://www.ncbi.nlm.nih.gov/blast>) شدند.

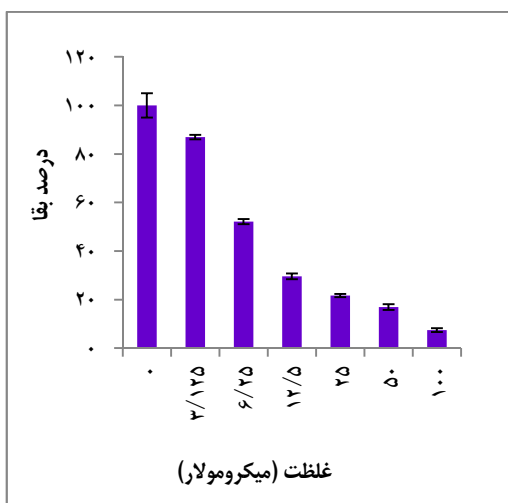
در این مطالعه، برنامه‌ی زمانی-Real-time PCR دمایی دستگاه Real-time PCR در سه مرحله انجام شد. مرحله‌ی اول که منجر به واسرتسته شدن مولکول‌های cDNA و فعال شدن آنزیم پلیمراز می‌شود، به صورت 95°C به مدت ۱۵ دقیقه، مرحله‌ی دوم 95°C به مدت ۱۵ ثانیه و 60°C به مدت ۱ دقیقه برای ۴۰ چرخه‌ی متوالی و مرحله‌ی نهایی برای ترسیم منحنی ذوب (Melting curve) به صورت 95°C به مدت ۱۵ ثانیه، 60°C به مدت ۳۰ ثانیه و 95°C به مدت ۱۵ ثانیه انجام شد. واکنش‌های Real-time PCR در حجم نهایی $1\mu\text{l}$ به صورت تکرار سه‌تایی در پلیت‌های ۹۶ خانه انجام شد. ترکیبات هر واکنش شامل $12/5\mu\text{l}$ مخلوط اصلی واکنش PCR حاوی سایبرگرین (SYBER-Green PCR master mix) $1\mu\text{l}$ (Applied Biosystems, Warrington, UK) از آغازگرهای جلویی و برگشتی (400 nM) و مابقی اختصاصی هر ژن، $5\mu\text{l}$ cDNA (100 ng) و مابقی آب مقطر اضافه شد تا به حجم نهایی $1\mu\text{l}$ رسید. سپس برای هر واکنش PCR یک منحنی تکثیر (Amplification curve) رسم شد. تجزیه و تحلیل داده‌ها بر اساس مقایسه‌ی چرخه‌ی آستانه انجام شد. در این مطالعه، اختلاف چرخه‌ی آستانه‌ی به دست آمده از نمونه‌های مورد آزمایش (سلول‌های تیمار شده با ایماتینیب) و نمونه‌های شاهد (سلول‌های

به صورت 25°C به مدت ۵ دقیقه (برای اتصال آغازگر)، 42°C به مدت ۶۰ دقیقه (ساخت cDNA)، 70°C به مدت ۵ دقیقه (غیر فعال شدن رونوشت‌بردار معکوس) و 4°C به مدت ۵ دقیقه انجام شد. واکنش Polymerase chain reaction (PCR) با استفاده از ABI ۷۳۰۰ Real-time PCR مدل (Applied Biosystems, Foster City, CA, USA) انجام گرفت.

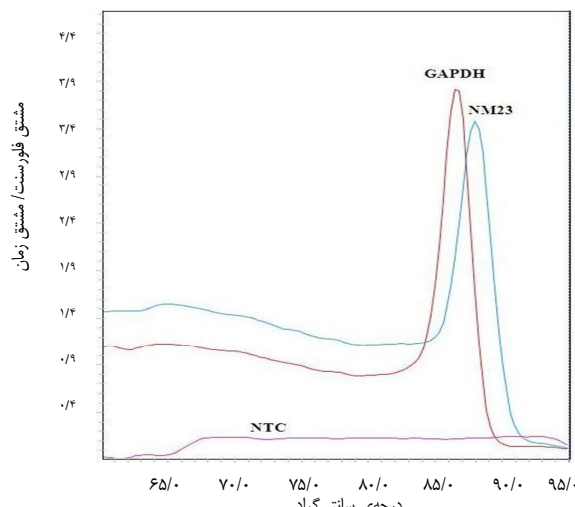
الکتروفورز با ژل آگارز: ابتدا ژل آگارز $1/5$ درصد $1/5\text{ g}$ پودر آگارز در 100 ml بافر $0/5\times$ (Tris-Borate-EDTA) مخلوط با رنگ اتیدیوم بروماید آماده شد. سپس محصولات تکثیر شده‌ی ژن هدف و مرجع، طی Real-time PCR، روی ژل آگارز بارگذاری و الکتروفورز شد. این مرحله برای تأیید تکثیر قطعات اختصاصی هر ژن و عدم حضور محصولات غیراختصاصی و جفت شدن آغازگرها انجام شد.

طراحی آغازگرها: در این مطالعه ژن $\text{nm}23$ واقع بر روی کروموزوم $17q21/3$ (۱۷) به عنوان ژن مورد مطالعه و ژن GAPDH (۱۲p13) واقع بر کروموزوم 12 به عنوان ژن مرجع انتخاب شد. سپس توالی ژن‌ها از سایت <http://www.ncbi.nlm.nih.gov> برای ژن‌های مورد مطالعه، آغازگرهای اختصاصی طراحی شد.

توالی آغازگرهای جلویی و برگشتی ژن هدف $\text{nm}23$ به صورت $3'-5'-ATGGCCAACGTGAGCGTACC$ و ژن جلویی، دمای 69°C و $3'-5'-CATGTATTTCACCAAGGCCGGC$ برگشتی، دماهی $64/2^{\circ}\text{C}$ برای ژن مرجع GAPDH به صورت $3'-5'-CGTCTGCCCTATCAACTTCG$ و ژن جلویی، دمای $66/9^{\circ}\text{C}$



شکل ۱. درصد بقای سلول‌های PC-۳ در برابر غلظت‌های مختلف ایماتینیب در مدت زمان ۴۸ ساعت، نتایج به صورت درصد بقا در مقایسه با نمونه‌های شاهد و به صورت میانگین \pm انحراف معیار گزارش شده است.



شکل ۲. منحنی ذوب ژنهای nm^{۲۳} و GAPDH nm^{۸۶/۸۱} در درجه‌ی سانتی گراد (Glyceraldehyde-۳-phosphate dehydrogenase) محور عمودی نشان دهندهٔ مشتق فلوروست به مشتق زمان و محور افقی نشان دهندهٔ درجه‌ی سانتی گراد است. الگوی منحنی ذوب ژن nm^{۲۳} در درجه‌ی ۸۶/۸۱ °C و منحنی ذوب ژن nm^{۸۶/۸۱} در درجه‌ی ۸۷/۹۴ °C نشان داده شده است. NTC (Non template control). نمونهٔ شاهد بدون الگو می‌باشد. در این واکنش، علامت فلوروست به صورت خطی است که بیانگر عدم جفت شدن آغازگرها و فقدان باند غیر اختصاصی است.

تیمار نشده با ایماتینیب) محاسبه و با استفاده از فرمول $\Delta\Delta Ct$ ، نسبت ژن هدف به ژن مرجع از طریق $2^{-\Delta\Delta Ct}$ محاسبه شد.

نتایج به دست آمده در این مطالعه، بر اساس حداقل سه تکرار استوار است که با گرفتن میانگین و محاسبهٔ انحراف معیار میزان تغییرات محاسبه شد. از آزمون مقایسه‌ای t استفاده و $P < 0.05$ به عنوان سطح معنی‌داری در نظر گرفته شد.

یافته‌ها

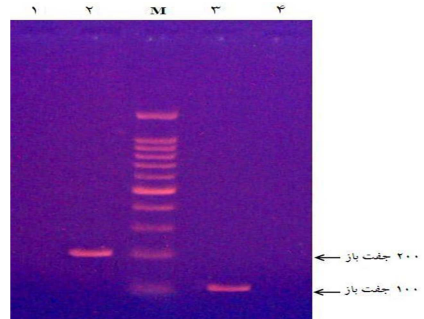
تیمار سلول‌های PC-۳ با ایماتینیب و محاسبه IC₅₀
تیمار سلول‌های PC-۳ با غلظت‌های مختلف ایماتینیب، ۰، $0.5\mu M$ ، $1\mu M$ ، $2\mu M$ ، $5\mu M$ و $10\mu M$ در مدت ۴۸ ساعت به ترتیب سبب کاهش بقای سلول‌ها به مقادیر $86/90 \pm 0.050$ ($P < 0.050$)، $29/69 \pm 1/18$ ($P < 0.010$)، $52/09 \pm 1/04$ ($P < 0.001$)، $21/70 \pm 0.065$ ($P < 0.010$)، $7/43 \pm 0.074$ ($P < 0.001$) و $16/84 \pm 1/18$ ($P < 0.001$) می‌شود. این نتایج در شکل ۱ نشان داده شده است. پس از تیمار سلول سرطانی PC-۳ با غلظت‌های متفاوت با استفاده از نرمافزار Pharm میزان IC₅₀ برای ایماتینیب $21/33 \mu M$ محاسبه شد.

تجزیه و تحلیل منحنی ذوب و ژل الکتروفورز

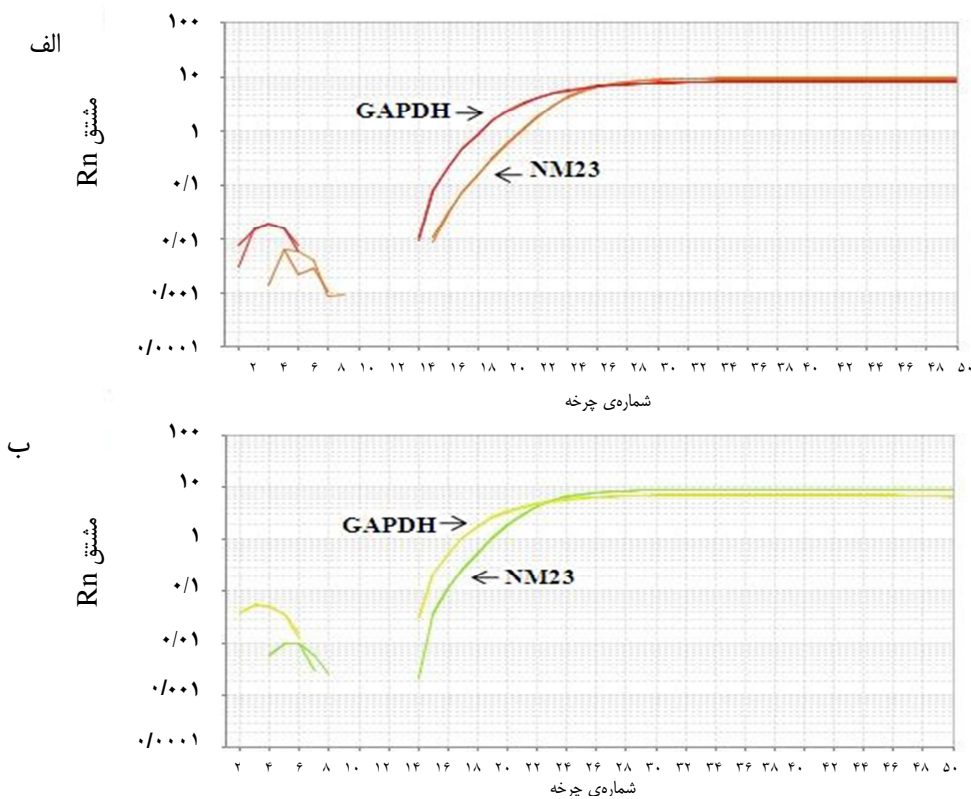
تکثیر اختصاصی قطعات ژنی مورد نظر، عدم جفت شدن آغازگرها و عدم تکثیر قطعات غیر اختصاصی برای هر ژن با استفاده از منحنی ذوب تعیین شد (شکل ۲). همچنین محصولات PCR هر ژن الکتروفورز شد. نتایج حاصل، تکثیر اختصاصی قطعات مورد نظر را تأیید نمود (شکل ۳).

نتایج Real-time PCR و منحنی تکثیری

در نمونه‌ی شاهد چرخه‌ی آستانه‌ی ژن‌های GAPDH و nm²³ به ترتیب برابر با ۱۸/۶ و ۲۱/۰۲ بود. در نمونه‌ی تیمار شده با غلظت ۲۱/۳۳ µg/ml ۲۱/۳۳ یا ایماتینیب چرخه‌ی آستانه‌ی ژن‌های GAPDH و nm²³ برابر با ۱۷/۳۴ و ۱۹/۰۱ به دست آمد (شکل ۴). اختلاف چرخه‌ی آستانه‌ی ژن مرجع و ژن nm²³ در نمونه‌ی شاهد با نمونه‌ی تیمار شده با ایماتینیب شاهد با نمونه‌ی تیمار شده با ایماتینیب ترتیب واکنش‌های بدون الگوی ژن‌های nm²³ و GAPDH را نشان می‌دهند. چاهک ۲ محصول تکثیری ژن nm²³ را نشان می‌دهد. طول قطعه‌ی تکثیری ۲۰۴ جفت باز است. چاهک ۳ محصول تکثیری ژن GAPDH را نشان می‌دهد. طول قطعه‌ی تکثیری، ۱۰۲ جفت باز است. چاهک M نشانگرهای اندازه محاسبه شد.



شکل ۳. کتروفورز محصولات تکثیری ژن‌های nm²³ و Glyceraldehyde-3-phosphate dehydrogenase (GAPDH) روی ژل آگارز ۱/۵ درصد. چاهک‌های ۱ و ۴ به ترتیب واکنش‌های بدون الگوی ژن‌های nm²³ و GAPDH را نشان می‌دهند. چاهک ۲ محصول تکثیری ژن nm²³ را نشان می‌دهد. طول قطعه‌ی تکثیری ۲۰۴ جفت باز است. چاهک ۳ محصول تکثیری ژن GAPDH را نشان می‌دهد. طول قطعه‌ی تکثیری، ۱۰۲ جفت باز است. چاهک M نشانگرهای اندازه محاسبه شده با اندازه‌ی ۱۰۰ جفت باز را نشان می‌دهد (Size markers).



شکل ۴. منحنی‌های تکثیر ژن‌های GAPDH و nm²³ (Glyceraldehyde-3-phosphate dehydrogenase) در نمونه‌ی شاهد، چرخه‌ی آستانه‌ی ژن‌های GAPDH و nm²³ به ترتیب برابر با ۱۸/۶ و ۲۱/۰۲ است. (ب) در نمونه‌ی تیمار شده با داروی ایماتینیب چرخه‌ی آستانه‌ی ژن‌های GAPDH و nm²³ برابر با ۱۷/۳۴ و ۱۹/۰۱ است.

بحث

تنوع و گستردگی شیوع سرطان در طول سالهای گذشته موجب تکامل روش‌های درمانی متنوعی شده است که بسته به نوع، موقعیت، میزان پیشرفت، وسعت بیماری و وضعیت بیمار ترکیبی از روش‌های مختلف جهت مبارزه با سرطان مورد استفاده قرار می‌گیرد. متاستازی یک فرایند پیچیده‌ی ژنتیکی است که ژن‌های زیادی در آن درگیر هستند. در میان همهٔ تغییرات ژنتیکی، غیرفعال شدن ژن‌های مهار کنندهٔ متاستازی یکی از مهم‌ترین عوامل است که در شکل‌گیری فرم متاستازی نقش دارد. در سالهای اخیر، ژن‌های سرکوبگر متاستازی متعددی شناسایی شده‌اند که در کتلر سرطان‌ها نقش دارند. ژن nm²³ و مخصوصاً پروتئینی آن که فعالیت نوکلئوتید دی‌فسفات کینازی دارد از این دسته ژن‌ها است که انواع مختلفی از H1 تا H8 برای آن شناسایی شده‌اند، اما تنها nm^{23-H1} و nm^{23-H2} در انسان دارای عملکرد شناخته شده هستند (۱۱-۱۲).

در بسیاری از کارسینوم‌های انسانی از جمله کارسینوم پستان (۱۳)، ملانوم (۱۴)، هپاتوسلولار کارسینوم (۱۵) و تخمدان (۱۶)، ارتباط بین کاهش nm²³ با افزایش پتانسیل متاستاز نشان داده شده است. در برخی از بدخیمی‌ها از جمله نئوپلاسم‌های هماتولوژیک (۱۷) و کارسینوم پروستات (۱۸) بروز بالای nm²³ با پیش‌آگهی بدی همراه است. از زمان کشف داروی ایماتینیب به عنوان اولین مهار کنندهٔ کینازی و استفادهٔ بالینی آن، تحقیقات زیادی در زمینهٔ شناسایی مکانیسم عملکرد آن روی سلول‌های سرطانی مختلف در حال انجام است. پژوهش‌های مختلفی، اثر داروی ایماتینیب را بر روی اهداف

مولکولی درون سلولی رده‌های سرطان لوسمی (Chronic myelogenous CML یا میلوئیدی مزمن) (۱۹). نشان داده‌اند.

همچنین، اثرات مهاری و سلول‌کشی این دارو به صورت In vitro و هم In vivo در بسیاری از سرطان‌ها مورد بررسی و اثبات قرار گرفته شده است. برای مثال در تحقیقی اثر مهاری ایماتینیب بر روی MCFV-7 (Michigan cancer foundation-7) نشان داده شد. نتایج این تحقیق نشان داد که ایماتینیب منجر به مهار رشد سلولی، افزایش آپوپتوز و کاهش مهاجرت این Popow-Wozniak و ردیف سلولی می‌شود (۲۰). همکاران اثر مهاری داروی ایماتینیب بر روی سلول‌های آدنوکارسینومی کلون را بررسی کردند و نشان دادند که این دارو بر روی پلیمریزاسیون اکتین، سازمان‌یابی اسکلت سلولی اکتین، القای آپوپتوز و مهار مهاجرت این سلول‌ها مؤثر است (۲۱).

تحقیق دیگری توسط Weigel و همکاران برای تعیین کارایی ایماتینیب در رادیو درمانی رده‌های سلولی سرطان پستان MCFV-7 و MDA MB²³¹ انجام گرفت. آن‌ها نشان دادند که ترکیب ایماتینیب و رادیو درمانی اثرات مؤثری را در مهار تکثیر سلولی، مهاجرت و افزایش آپوپتوز در مقایسه با رادیو درمانی تنها دارد (۲۲). همچنین مهار رشد توموری ایماتینیب نیز روی رده‌ی سلولی سرطان تخمدان، سلول‌های سرطانی تیروئید و سلول‌های لایدیگ در شرایط In vitro و In vivo نیز نشان داده شده است (۲۳-۲۵).

تحقیقات صورت گرفته بر روی بیان ژن‌های مرتبط با مرگ سلولی برنامه‌ریزی شده مانند BAX،

شد و باید در مطالعات آینده، بیان آن در سطح پروتئین مورد ارزیابی قرار گیرد. افزایش بیان ژن nm²³ در رده‌ی سرطانی PC-۳ در مدت ۴۸ ساعت می‌تواند افقی تازه در درمان سرطان پروستات از طریق مهار متاستازی باشد. بدیهی است که شناسایی اهمیت الگوی بیان این ژن در پاسخ به فعالیت متاستازی داروهای ضد سرطانی حائز اهمیت است. بنابراین بررسی‌های بیشتری لازم است تا بتوان اثبات کرد که «آیا پروفایل بیانی mRNA این ژن می‌تواند مدرکی برای نقش آن در پیش‌گویی دقیق‌تر و اختصاصی پاسخ سرطان به درمان باشد؟».

تشکر و قدردانی

این مقاله حاصل پایان‌نامه‌ی دوره‌ی دکترای تخصصی به شماره‌ی ۱۵۷۰۳۲ مصوب دانشگاه آزاد اسلامی واحد علوم و تحقیقات تهران است.

PDGF $\alpha\beta$ و BCL2 (۲) و همچنین، (Platelet derived growth factor $\alpha\beta$) سرطانی تیمار شده با ایماتینیب نشان داده‌اند که بیان این ژن‌ها به صورت گوناگون در اثر تیمار با ایماتینیب تغییر می‌کنند (۲۶-۲۷). در این مطالعه از سلول‌های PC-۳ استفاده شد؛ چرا که این رده‌ی سلولی از سرطان‌های پروستات، رفتار تهاجمی LNCaP و DU145 بیشتری در مقایسه با سلول‌های PC-۳ دو رده‌ی دیگر سلول‌های سرطان پروستات، را دارا می‌باشد. تاکنون مطالعه‌ای در مورد افزایش بیان ژن nm²³ به طور کمی در رده‌ی سلولی PC-۳ با تیمار داروی ایماتینیب صورت نگرفته است. در مطالعه‌ی حاضر روی سلول‌های PC-۳ مشاهده شد که آثار سمتیت ایماتینیب با افزایش غلظت، افزایش می‌یابد. همچنین در مطالعه‌ی حاضر، تغییر بیان پروتئین ژن سرکوبگر متاستازی nm²³ در سطح mRNA بررسی

References

1. Siegel R, Ma J, Zou Z, Jemal A. Cancer statistics, 2014. CA Cancer J Clin 2014; 64(1): 9-29.
2. Noori Daloii MR, brahimzadeh Vesal E. Molecular genetic, diagnosis, prevention and gene therapy in prostatic cancer: review article. Tehran Univ Med J 2009; 67(1): 1-14. [In Persian].
3. Nazir S, Hussain T, Ayub A, Rashid U, MacRobert AJ. Nanomaterials in combating cancer: therapeutic applications and developments. Nanomedicine 2014; 10(1): 19-34.
4. Gur S, Sikka SC, Abdel-Mageed AB, Abd Elmageed ZY, Rezk B, Pankey E, et al. Imatinib mesylate (Gleevec) induces human corpus cavernosum relaxation by inhibiting receptor tyrosine kinases (RTKs): identification of new RTK targets. Urology 2013; 82(3): 745-6.
5. Tornillo L. Biology of gastrointestinal stromal tumour and mechanisms of imatinib resistance. Diagnostic Histopathology 2013; 19(6): 203-10.
6. Pytel D, Sliwinski T, Poplawski T, Ferriola D, Majsterek I. Tyrosine kinase blockers: new hope for successful cancer therapy. Anticancer Agents Med Chem 2009; 9(1): 66-76.
7. Weigel MT, Meinholt-Heerlein I, Bauerschlag DO, Schem C, Bauer M, Jonat W, et al. Combination of imatinib and vinorelbine enhances cell growth inhibition in breast cancer cells via PDGFR beta signalling. Cancer Lett 2009; 273(1): 70-9.
8. Iizumi M, Liu W, Pai SK, Furuta E, Watabe K. Drug development against metastasis-related genes and their pathways: a rationale for cancer therapy. Biochim Biophys Acta 2008; 1786(2): 87-104.
9. Prabhu VV, Siddikuzzaman, Grace VM, Guruvayoorappan C. Targeting tumor metastasis by regulating Nm23 gene expression. Asian Pac J Cancer Prev 2012; 13(8): 3539-48.
10. Haeno H, Michor F. The evolution of tumor metastases during clonal expansion. J Theor Biol 2010; 263(1): 30-44.
11. Fournier HN, Albiges-Rizo C, Block MR. New insights into Nm23 control of cell adhesion and

- migration. *J Bioenerg Biomembr* 2003; 35(1): 81-7.
- 12.** Royds JA, Silcocks PB, Rees RC, Stephenson TJ. Nm23 protein expression in thyroid neoplasms. *Pathologica* 1994; 86(3): 240-3.
- 13.** Bevilacqua G, Sobel ME, Liotta LA, Steeg PS. Association of low nm23 RNA levels in human primary infiltrating ductal breast carcinomas with lymph node involvement and other histopathological indicators of high metastatic potential. *Cancer Res* 1989; 49(18): 5185-90.
- 14.** Caligo MA, Grammatico P, Cipollini G, Varesco L, Del PG, Bevilacqua G. A low NM23.H1 gene expression identifying high malignancy human melanomas. *Melanoma Res* 1994; 4(3): 179-84.
- 15.** Boix L, Bruix J, Campo E, Sole M, Castells A, Fuster J, et al. nm23-H1 expression and disease recurrence after surgical resection of small hepatocellular carcinoma. *Gastroenterology* 1994; 107(2): 486-91.
- 16.** Kapitanovic S, Spaventi R, Vujsic S, Petrovic Z, Kurjak A, Pavelic ZP, et al. nm23-H1 gene expression in ovarian tumors--a potential tumor marker. *Anticancer Res* 1995; 15(2): 587-90.
- 17.** Wakimoto N, Yokoyama A, Okabe-Kado J, Nagata N, Motoyoshi K, Honma Y. Combined analysis of differentiation inhibitory factor nm23-H1 and nm23-H2 as prognostic factors in acute myeloid leukaemia. *Br J Cancer* 1998; 77(12): 2298-303.
- 18.** Igawa M, Urakami S, Shiina H, Ishibe T, Usui T, Chodak GW. Association of nm23 protein levels in human prostates with proliferating cell nuclear antigen expression at autopsy. *Eur Urol* 1996; 30(3): 383-7.
- 19.** Roskoski R, Jr. The ErbB/HER family of protein-tyrosine kinases and cancer. *Pharmacol Res* 2014; 79: 34-74.
- 20.** Rocha A, Azevedo I, Soares R. Progesterone sensitizes breast cancer MCF7 cells to imatinib inhibitory effects. *J Cell Biochem* 2008; 103(2): 607-14.
- 21.** Popow-Wozniak A, Wozniakowska A, Kaczmarek L, Malicka-Blaszkiewicz M, Nowak D. Apoptotic effect of imatinib on human colon adenocarcinoma cells: influence on actin cytoskeleton organization and cell migration. *Eur J Pharmacol* 2011; 667(1-3): 66-73.
- 22.** Weigel MT, Dahmke L, Schem C, Bauerschlag DO, Weber K, Niehoff P, et al. In vitro effects of imatinib mesylate on radiosensitivity and chemosensitivity of breast cancer cells. *BMC Cancer* 2010; 10: 412.
- 23.** Basciani S, Brama M, Mariani S, De LG, Arizzi M, Vesci L, et al. Imatinib mesylate inhibits Leydig cell tumor growth: evidence for in vitro and in vivo activity. *Cancer Res* 2005; 65(5): 1897-903.
- 24.** Reynoso D, Nolden LK, Yang D, Dumont SN, Conley AP, Dumont AG, et al. Synergistic induction of apoptosis by the Bcl-2 inhibitor ABT-737 and imatinib mesylate in gastrointestinal stromal tumor cells. *Mol Oncol* 2011; 5(1): 93-104.
- 25.** Abouantoun TJ, MacDonald TJ. Imatinib blocks migration and invasion of medulloblastoma cells by concurrently inhibiting activation of platelet-derived growth factor receptor and transactivation of epidermal growth factor receptor. *Mol Cancer Ther* 2009; 8(5): 1137-47.
- 26.** Biswas SK, Zhao Y, Sandirasegarane L. Imatinib induces apoptosis by inhibiting. *Mol Vis* 2009; 15: 1599-610.
- 27.** Patel BB, He YA, Li XM, Frolov A, Vanderveer L, Slater C, et al. Molecular mechanisms of action of imatinib mesylate in human ovarian cancer: a proteomic analysis. *Cancer Genomics Proteomics* 2008; 5(3-4): 137-49.

Upregulation of Nm23, a Metastasis Suppressor Gene, in Human Prostate Adenocarcinoma (PC-3) Cell Line Treated with Imatinib

Seyed Ataollah Sadat-Shandiz MSc¹, Mehdi Shafiee-Ardestani PhD², Shiva Irani PhD³,
Delavar Shahbazzadeh PhD⁴

Original Article

Abstract

Background: Prostate cancer is one of the most common cancers diagnosed in developed countries. Many studies have confirmed that the nm23 gene suppresses metastasis in different types of cancers. The effects of, imatinib as the first member of tyrosine kinases inhibitors, were showed in research and treatment of solid tumors. The aim of the current study was to investigate the effect of imatinib on cell viability and suppressor metastasis nm23 gene expression in prostate cancer cell line.

Methods: In this study, prostate cancer (PC-3) human cell line was treated with various concentrations of imatinib for 48 hours. Cell viability was assessed using MTT assay [3-(4,5-dimethylthiazol-2-yl)-2,5-diphenyltetrazolium bromide] and the half maximal inhibitory concentration (IC_{50}) value was determined. We extracted RNA molecules via using RNX solution, after which cDNA was synthesized. The precise primers for the nm23 and glyceraldehyde-3-phosphate dehydrogenase (GAPDH) genes were designed via specific software. Then, the quantity of nm23 compared to GAPDH gene (reference gene) was analyzed using real-time polymerase chain reaction (PCR) method.

Findings: Imatinib exerted an inhibitory effect on the viability of metastatic PC-3 cells. The calculated nm23/GAPDH gene expression ratio was 1.62 ± 0.02 ($P < 0.01$) in 21/33 μM concentration of imatinib at 48 hours.

Conclusion: The results of this study showed that imatinib can inhibit metastasis via upregulating nm23 gene expression in prostate cancer adenocarcinoma PC-3 cell line.

Keywords: Imatinib, nm23, Prostate cancer, Metastasis

Citation: Sadat-Shandiz SA, Shafiee-Ardestani M, Irani Sh, Shahbazzadeh D. Upregulation of Nm23, a Metastasis Suppressor Gene, in Human Prostate Adenocarcinoma (PC-3) Cell Line Treated with Imatinib. J Isfahan Med Sch 2015; 32(309): 1907-17

1- PhD Student, Department of Biology, Science and Research Branch, Islamic Azad University, Tehran, Iran

2- Assistant Professor, Department of Radiopharmacy, School of Pharmacy, Tehran University of Medical Sciences, Tehran, Iran

3- Assistant Professor, Department of Biology, Science and Research Branch, Islamic Azad University, Tehran, Iran

4- Associate Professor, Biotechnology Research Center, Pasteur Institute of Iran AND Medical Biotechnology Group, Venom and Toxin Lab, Tehran, Iran

Corresponding Author: Delavar Shahbazzadeh PhD, Email: shahbazzadeh@pasteur.ac.ir